

Тур В.В., Шалобыта Т.П., Щербач А.В.

## ОБЩИЙ МЕТОД РАСЧЕТА СБОРНО-МОНОЛИТНЫХ БАЛОК С НЕУПРУГИМИ СВЯЗЯМИ СДВИГА ПРИ СОВМЕСТНОМ ДЕЙСТВИИ ИЗГИБАЮЩИХ МОМЕНТОВ И ПЕРЕРЕЗЫВАЮЩИХ СИЛ

### Постановка задачи

Эмпирические и полумпирические подходы [1,2], принятые до настоящего времени при проектировании железобетонных конструкций, предполагают выполнять отдельные расчеты прочности при действии изгибающих моментов и перерезывающих сил. В ряде случаев расчетные формулы, по которым определяют прочность сечений при действии перерезывающих сил, лишены физического смысла и по образному выражению J.G. MacGregor представляют собой «empirical mumbo jumbo» [3].

Создание и развитие общих деформационных методов расчета железобетонных конструкций, базирующихся на положениях модифицированной теории полей сжатия (МТФС) [4] позволило отказаться от целого ряда условностей, присутствующих эмпирическим методам, и наполнить расчетные формулы физическим смыслом. Общий деформационный метод расчета, использующий условия равновесия, совместности деформаций и трансформированные диаграммы деформирования для плосконапряженного железобетонного элемента с трещинами подробно рассмотрен в монографии [5].

Вместе с тем, методы расчета сборно-монолитных железобетонных конструкций, сечения которых составлены из бетонов разных возрастов, обладающих различными физико-механическими характеристиками свойств, подвергнутых совместному действию изгибающих моментов и перерезывающих сил, разработаны в недостаточной степени. Как правило, в большинстве предложенных методов составную сборно-монолитную балку заменяют некоторой идеализированной сплошной балкой, выполненной из так называемого «приведенного» бетона [6]. Однако как на характер разрушения, так и величину предельных усилий составных элементов существенное влияние оказывает деформативность стыкового соединения. Немногочисленные решения, предложенные для расчета составных стержней с учетом деформативного стыкового соединения предполагают упругую работу связей сдвига [7], что является характерным для железобетонных конструкций в очень ограниченном интервале нагружения.

Работа проф. А.Р. Ржаницына [8] является единственной, в которой предложено учитывать в расчетах сборно-монолитных конструкций как неупругую работу материалов составляющих элементов, так и неупругую работу связей сдвига. Вместе с тем, и в названной работе не учитывается специфика сопротивления железобетона, а главным образом, наличие трещин, имеющих место не только в предельной, но и в эксплуатационной стадии. Кроме того, в работе [8] не представлены зависимости, описывающие нелинейное поведение стыка. Изучению полных диаграмм деформирования стыковых соединений различных конструктивных решений посвящены работы [5, 11].

В настоящей статье представлены положения общего деформационного метода расчета сборно-монолитных конструкций при действии изгибающих моментов и перерезывающих сил с учетом нелинейной работы стыкового соединения.

Базовые уравнения для плосконапряженного железобетонного элемента с трещинами

Для определения параметров напряженно-деформированного состояния железобетонного элемента с диагональными трещинами (см. рис. 1) согласно [4, 5] в общем случае используются:

- уравнения равновесия

$$\sigma_x = \sigma_2 \cdot \cos^2 \theta + \sigma_1 \cdot \sin^2 \theta + \rho_l \cdot \sigma_{sx}, \quad (1)$$

$$\sigma_y = \sigma_1 \cdot \cos^2 \theta + \sigma_2 \cdot \sin^2 \theta + \rho_{sw} \cdot \sigma_{sy}, \quad (2)$$

$$\tau_{x,y} = (-\sigma_2 + \sigma_1) \cdot \sin \theta \cdot \cos \theta, \quad (3)$$

- уравнения совместности деформаций:

$$\epsilon_x = \epsilon_2 \cdot \cos^2 \theta + \epsilon_1 \cdot \sin^2 \theta, \quad (4)$$

$$\epsilon_y = \epsilon_1 \cdot \cos^2 \theta + \epsilon_2 \cdot \sin^2 \theta, \quad (5)$$

$$\gamma_{x,y} = (-\epsilon_2 + \epsilon_1) \cdot \sin \theta \cdot \cos \theta, \quad (6)$$

- трансформированные диаграммы деформирования, устанавливающие связь между главными напряжениями и деформациями для железобетонного элемента с трещинами в виде (см. рис. 1):

$$\text{при } \epsilon_l \leq \epsilon_{cr} \quad \sigma_l = \epsilon_l \cdot E_c \quad (7a)$$

$$\text{при } \epsilon_l > \epsilon_{cr}$$

$$\sigma_l = \frac{f_{ctd}}{1 + \sqrt{500 \cdot \epsilon_l}} \leq 0.18 \frac{\sqrt{f'_c}}{0.3 + \frac{24w}{a+16}}, \quad (7b)$$

$$\sigma_2 = f_{2,max} \left[ \frac{\epsilon_2}{\epsilon'_c} - \left( \frac{\epsilon_2}{\epsilon'_c} \right)^2 \right], \quad (8)$$

$$f_{2,max} = \frac{f'_c}{0.8 + 170 \cdot \epsilon_l} \leq f'_{c,min}, \quad (9)$$

В уравнениях (1)..(9):

$\sigma_1, \sigma_2$  – соответственно средние значения главных растягивающих и сжимающих напряжений;  $\epsilon_1, \epsilon_2$  – средние значения главных растягивающих и сжимающих деформаций;  $f_{ctd}, f'_c$  – прочность бетона на растяжение и сжатие соответственно;  $\theta$  – угол наклона бетонной полосы, выделенной наклонными трещинами;  $\epsilon_{cr}$  – предельные растягивающие деформации для бетона;  $\rho_l, \rho_{sw}$  – коэффициенты армирования соответственно продольной и поперечной арматурой.

Диаграмма деформирования для стыкового соединения, связывающая сдвигающие напряжения  $\tau_j$  с тангенциальными перемещениями  $\delta_i$ , может быть принята согласно [11] в виде:

$$\frac{\tau_{Rd,j}}{\tau_{Rd,u}} = (1 - k) \tanh \left( \frac{k_{t,0}}{\tau_{Rd,u}} \cdot \delta_i \right) + k, \quad (10)$$

*Тур Виктор Владимирович, д.т.н., профессор, проректор по научной работе, зав. каф. технологии бетона и строительных материалов Брестского государственного технического университета.*

*Шалобыта Татьяна Петровна, к.т.н., доцент каф. технологии бетона и строительных материалов Брестского государственного технического университета.*

*Щербач Александр Валерьевич, ассистент каф. технологии бетона и строительных материалов Брестского государственного технического университета.*

*Беларусь, БГТУ, 224017, г. Брест, ул. Московская, 267.*

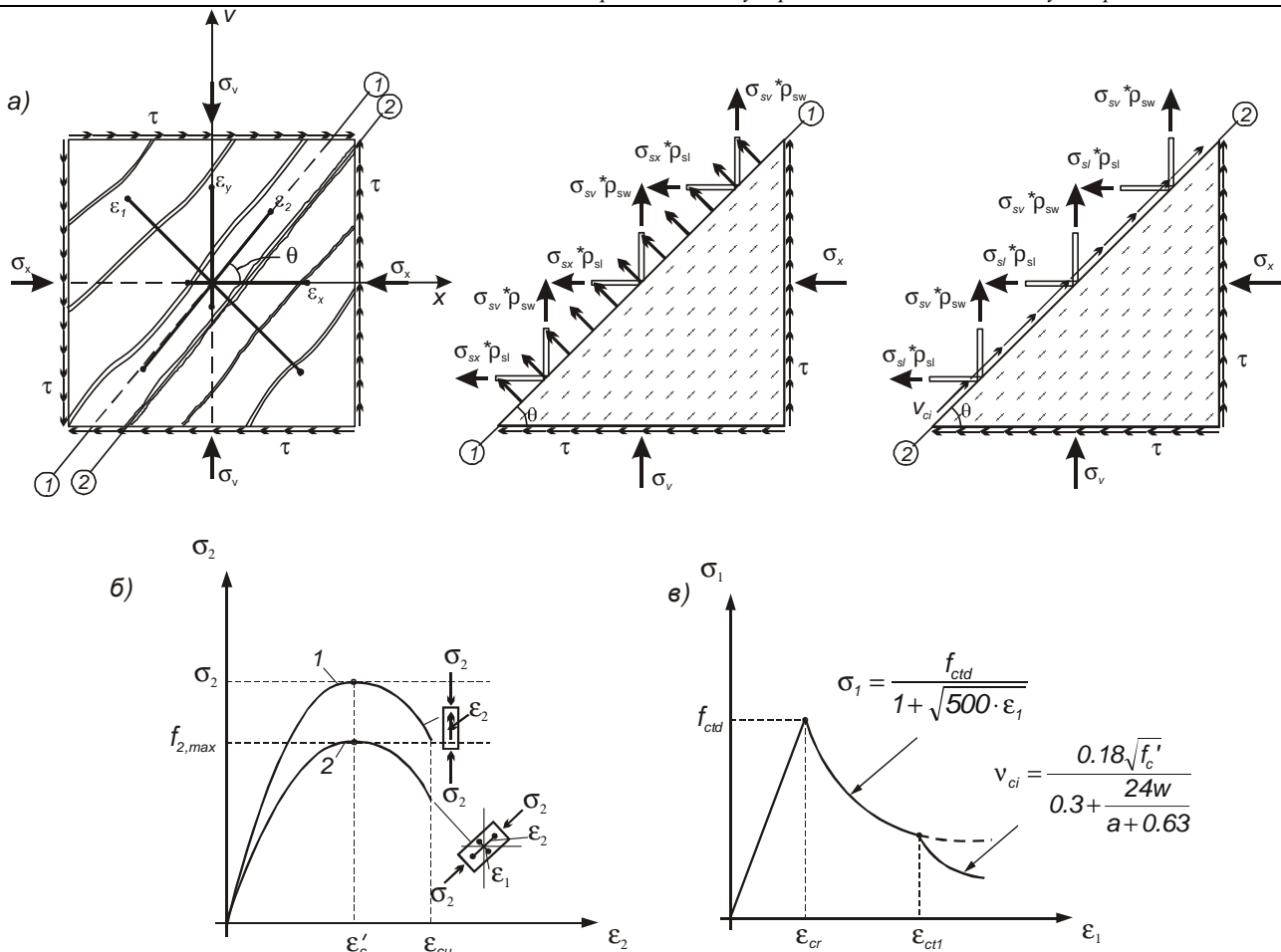


Рис. 1. Схема напряжений (а) и трансформированные диаграммы деформирования, связывающие главные сжимающие (б) и главные растягивающие (в) напряжения и соответствующие деформации железобетонного элемента с трещинами.

- 1 – боковая диаграмма деформирования бетона в условиях осевого сжатия;
- 2 – трансформированная диаграмма деформирования « $\sigma_2 - \epsilon_2$ ».

при  $k = \frac{\tau_{Rd,0}}{\tau_{Rd,u}}$ ;

где:  $\tau_{Rd,u}$  - предельное сопротивление сдвигу стыкового соединения, определяемое согласно [1];  $\tau_{Rd,0}$  - касательные напряжения, соответствующие образованию трещины в стыковом соединении определяемые согласно [1];  $\delta_i$  - тангенциальное перемещение стыкового соединения;  $k_{i0}$  - сдвиговая жесткость стыкового соединения в момент образования трещины, определяемая согласно [11].

Для решения поставленной задачи рассмотрим фрагмент сборно-монолитной балки на участке, где действуют изгибающий момент и перерезывающая сила. Разобьем рассматриваемый фрагмент по длине на элементарные участки с размерами  $S$  и  $\Delta h_i$  (см. рис. 2 (а)). В соответствии с [10] для обеспечения требуемой точности решения принимаем  $S \approx d/6$  и  $\Delta h_i = h / 10$ . Выделенный « $k$ »-ый элемент находится под действием результирующих нормальных и сдвигающих усилий, схема которых показана на рис. 2 (б).

Горизонтальные сдвигающие усилия, действующие на « $k$ »-ю элементарную полосу могут быть определены:

$$F_k = F_{k-1} + (C_{k1} - C_{k2}), \quad (11)$$

при  $F_{k-1} = \sum (C_{i1} - C_{i2}), \quad (12)$

где:  $C_i$  – равнодействующая продольных усилий, определяемая с учетом продольного армирования по формуле:

$$C_i = \sigma_{cxi} \cdot b_i \cdot \Delta h_i + C_{si}, \quad (13)$$

где  $\sigma_{cxi}$  – нормальные продольные напряжения, действующие в пределах высоты элементарного участка;  $C_{si}$  – результирующее усилие в продольной арматуре.

Нормальные напряжения  $\sigma_{cxi}$  связаны с соответствующими продольными деформациями  $\epsilon_{xc,i}$  диаграммами деформирования, представленными в нормах [1]. Тогда принимая равномерное распределение нормальных напряжений в пределах элементарной полосы уравнение (13) можно записать в развернутом виде:

$$C_i = \epsilon_{cxi} \cdot E'_{ci} \cdot A_{ci} + \epsilon_{sxi} \cdot E'_s \cdot \rho_{sli}, \quad (14)$$

или с учетом того, что распределение продольных деформаций подчиняется гипотезе плоских сечений ( $\epsilon_{ci} = \epsilon_{co} + \chi_i \cdot y_i$ ):

$$C_i = (\epsilon_{coi} + \chi_i \cdot y_{ci}) \cdot E'_{ci} \cdot A_{ci} + (\epsilon_{coi} + \chi_i \cdot y_{si}) \cdot E'_s \cdot \rho_{sli}, \quad (15)$$

где  $\epsilon_{coi}$  – продольные деформации на уровне выбранной оси в пределах сечения;  $\chi_i$  – кривизна сечения;  $y_{ci}, y_{si}$  – расстояния от выбранной оси до ц.т. « $i$ »-го элемента (см. рис. 3);  $E'_{ci}, E'_s$  – секущие модули деформаций для бетона и арматуры, определяемые из соответствующей диаграммы деформирования на рассматриваемой ступени нагружения;

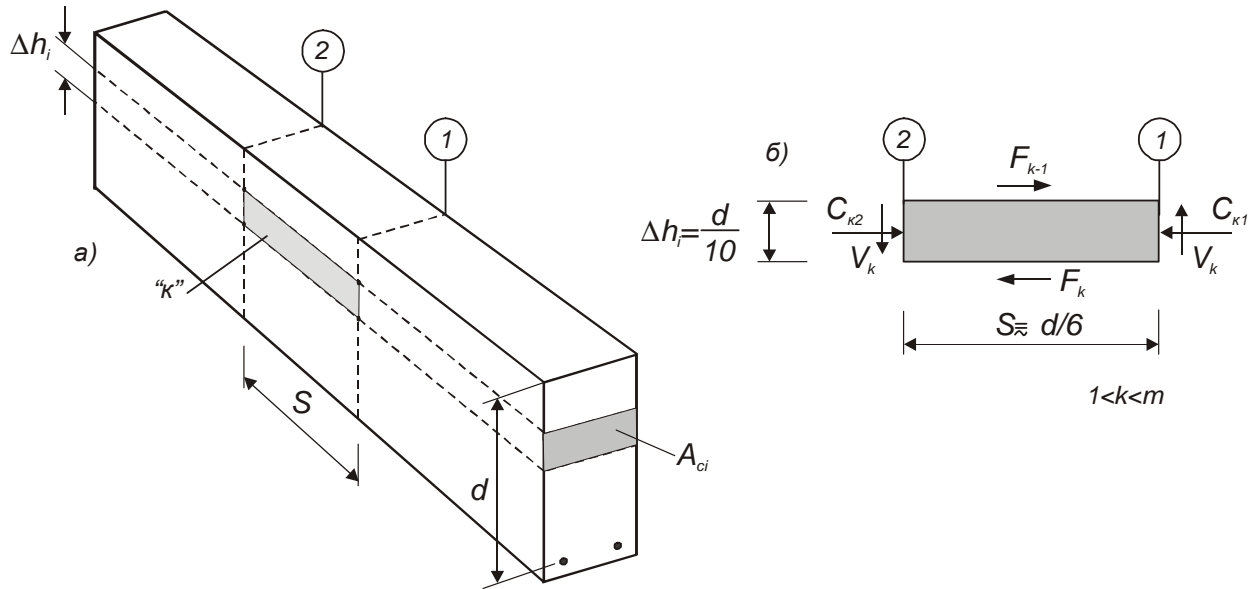


Рис. 2. Фрагмент сборно-монолитной балки (а) и схема сил, действующих в элементарной полосе по высоте сечения (б).

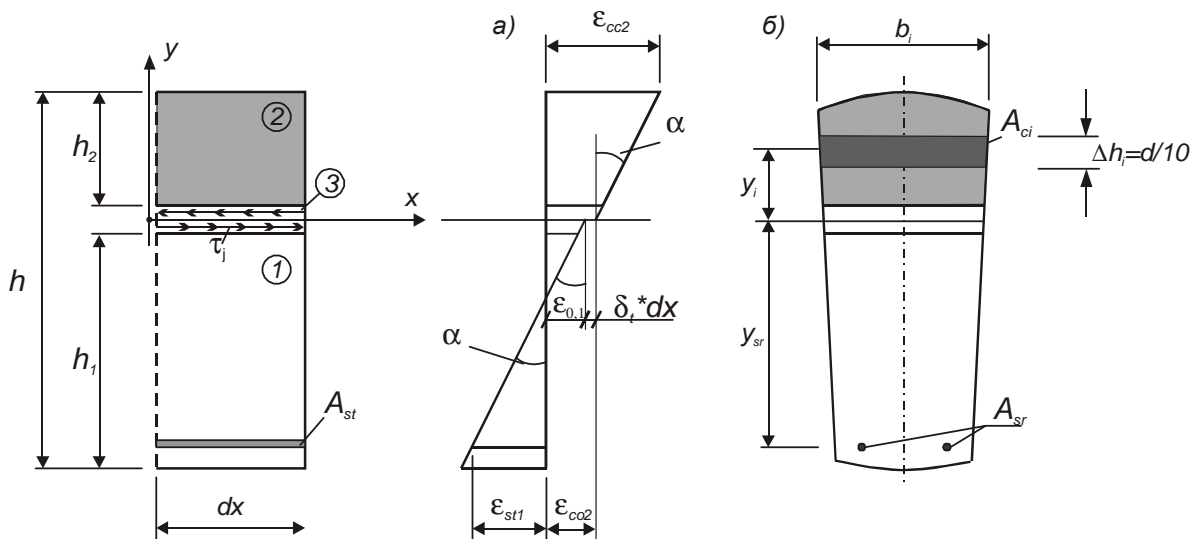


Рис. 3. Схемы распределения продольных деформаций (а) по высоте составного сечения (б) с неупругими связями сдвига: 1 – сборный элемент; 2 – монолитная часть сечения; 3 – стыковое соединение.

Поперечная сила  $V_k$ , действующая на выделенную полосу может быть определена из условий равновесия:

$$V_k = \frac{(F_k + F_{k-1}) \cdot \Delta h_k}{2 \cdot S}, \quad (16)$$

а касательные напряжения:

$$v_k = \frac{V_k}{b_k \cdot \Delta h_k}, \quad (17)$$

При установленном распределении продольных деформаций по высоте составного сечения и рассчитанных по формуле (17) касательных напряжениях  $v_k$ , используя условия равновесия общего деформационного метода (1)...(3) главные сжимающие напряжения, действующие на элементарную полосу «к» могут быть определены:

$$\sigma_2 = v_k \cdot (\tan \theta + \cot \theta) - \sigma_1, \quad (18)$$

Соответствующие значения главных сжимающих деформаций рассчитывают из трансформированной диаграммы деформирования при сжатии (8):

$$\epsilon_2 = \epsilon'_c \cdot \left( 1 - \sqrt{1 - \frac{\sigma_2}{f_{2,max}}} \right), \quad (19)$$

Деформации поперечной арматуры  $\epsilon_v$  и продольные деформации  $\epsilon_x$  определяют из условия совместности деформаций:

$$\epsilon_v = \frac{\epsilon_1 + \epsilon_2 \cdot \tan^2 \theta}{1 + \tan^2 \theta}, \quad (20a)$$

$$\epsilon'_x = \frac{\epsilon_1 \cdot \tan^2 \theta + \epsilon_2}{1 + \tan^2 \theta}, \quad (20б)$$

Угол наклона диагональных трещин может быть определен исходя из следующих соображений. С одной стороны из условий равновесия проекций всех сил на вертикальную ось «v» напряжения в поперечной арматуре составят:

$$\sigma_v = -\frac{I}{\rho_w} (1 - v_k \cdot \tan \theta), \quad (21)$$

где  $\rho_w$  – коэффициент поперечного армирования.

С другой стороны, используя уравнения совместности деформаций и диаграмму деформирования для арматуры можно записать:

$$\sigma'_v = E_{sw} \cdot \epsilon_v = E_{sw} [\epsilon_l - (\epsilon_l - \epsilon_x) \cdot \tan^2 \theta], \quad (22)$$

где  $E_{sw}$  – модуль упругости поперечной арматуры.

Угол  $\theta$  определяют из условия  $\sigma_v = \sigma'_v$ . Это ведет к решению квадратного уравнения относительно  $\tan \theta$ , если напряжения в поперечной арматуре не достигают предельных значений или линейного уравнения, если продольная арматура достигнет расчетного сопротивления  $\sigma_v = f_{sv}$ .

Как видно, для решения представленных выше уравнений, позволяющих рассчитывать напряженно-деформированное состояние плосконеупругого элемента сборно-монолитной конструкции при любом уровне нагружения и произвольной комбинации изгибающих моментов и перерезывающих сил, необходимо установить распределение продольных деформаций по высоте составных сечений с учетом нелинейной работы связей сдвига.

Расчетные уравнения для составного железобетонного элемента с неупругими связями сдвига

При выводе расчетных уравнений, описывающих распределение продольных деформаций по высоте составного сечения и сдвигающих напряжений в плоскости контакта приняты допущения, сформулированные в работах [8,9]. Рассматривается процесс монотонного нагружения при котором разгрузку материалов и связей сдвига можно не учитывать. В первом приближении к анализу принимается традиционная схема составного стержня (см. рис. 3) с абсолютно жесткими поперечными связями в стыковом соединении. Это дает основание утверждать, что кривизна сборного элемента и монолитной набетонки равны в процессе нагружения и не происходит отрыва в плоскости контакта. Это утверждение справедливо на всем интервале нагружения реальной конструкции, вплоть до наступления предельного состояния.

При переходе к численному интегрированию напряжений, поперечное сечение разбивают на элементарные площадки бетона  $A_{ci}$ , размеры которых были оговорены ранее (см. рис. 3). В соответствии с [8, 9, 11] для составного стержня симметричного сечения единичной ширины с неупругими связями сдвига можно записать следующую линейную систему дифференциальных уравнений:

$$\begin{cases} \frac{d\tau_j}{dx} = (\epsilon_{0(2)} - \epsilon_{0(1)}) \cdot k'_t; \\ B_{1,1(2)} \frac{d\epsilon_{0(2)}}{dx} + B_{1,2(2)} \frac{d\chi}{dx} = \tau_j(x); \\ B_{1,1(1)} \frac{d\epsilon_{0(1)}}{dx} + B_{1,2(1)} \frac{d\chi}{dx} = -\tau_j(x); \\ B_{1,2(1)} \frac{d\epsilon_{0(1)}}{dx} + B_{1,2(2)} \frac{d\epsilon_{0(2)}}{dx} + \\ + (B_{2,2(1)} + B_{2,2(2)}) \frac{d\chi}{dx} = V_{sd(x)} \end{cases} \quad (23)$$

где  $\epsilon_{0(1)}, \epsilon_{0(2)}$  – продольные деформации соответственно сборного элемента и монолитной набетонки на уровне выбранной оси X, располагаемый в плоскости стыка (см. рис. 3);  $\chi$  – кривизна сечения, общая для сборного элемента и монолитной набетонки;  $\tau_j$  – касательные напряжения в стыковом соединении;  $V_{sd(x)}$  – поперечная сила в рассматриваемом сечении;  $k'_t$  – коэффициент жесткости стыкового соедине-

ния, определяемый из диаграммы деформирования « $\tau - \delta_t$ »;  $B_{1,1}, B_{1,2}, B_{2,2}$  – элементы матрицы мгновенной жесткости, определяемые по формулам:

$$B_{1,1(j)} = \frac{\partial N_j}{\partial \epsilon_{0(j)}} = \sum_{i=1}^n A_{ci,j} \cdot E'_{ci,j} + \sum_{r=1}^p A_{sr} \cdot E'_{sr}, \quad (24)$$

$$B_{1,2(j)} = B_{2,1(j)} = \frac{\partial N_j}{\partial \chi_{(j)}} = \frac{\partial M_i}{\partial \epsilon_{0,i}} =$$

$$= \sum_{i=1}^n A_{ci,j} \cdot E'_{ci} \cdot y_{ci} + \sum_{r=1}^p A_{sr} \cdot E'_{sr} \cdot y_{sr}$$

$$B_{2,2} = \frac{\partial M_i}{\partial \chi} = \sum_{i=1}^n A_{ci,j} \cdot E'_{ci,j} \cdot y_{ci}^2 + \sum_{r=1}^p A_{sr} \cdot E'_{sr} \cdot y_{sr}^2, \quad (26)$$

где  $j$  – количество составляющих элементов,  $j = 1, 2$ ;  $A_{ci,j}$  – площадь элементарного участка бетона;  $A_{sr}$  – площадь « $r$ »-го арматурного стержня;  $E'_{ci,j}, E'_s$  – модули деформации бетона и арматуры, определяемые в зависимости от уровня нагружения из диаграмм деформирования « $\sigma - \epsilon$ » для материалов. Выполняя преобразования исходную систему уравнений (23) можно записать в нормальной форме

$$\begin{cases} \frac{d\epsilon_{0(1)}}{dx} = A \cdot \tau_j + F \\ \frac{d\epsilon_{0(2)}}{dx} = E \cdot \tau_j + G \\ \frac{d\chi}{dx} = D \cdot \tau_j + H \\ \frac{d\tau_j}{dx} = k'_t \cdot \epsilon_{0(2)} - k'_t \cdot \epsilon_{0(1)} \end{cases}, \quad (27)$$

$$\text{где } A = \frac{-[B_{1,2(1)}^2 + B_{1,2(2)}^2 - B_{1,1(2)} \cdot (B_{2,2(1)} + B_{2,2(2)})]}{B_0}, \quad (28)$$

$$E = \frac{[B_{1,2(1)}^2 - B_{1,1(1)} \cdot (B_{2,2(1)} + B_{2,2(2)}) + B_{1,2(2)} \cdot B_{1,2(1)}]}{B_0}, \quad (29)$$

$$D = \frac{-[B_{1,1(1)} \cdot B_{1,2(2)} + B_{1,1(2)} \cdot B_{1,2(1)}]}{B_0}, \quad (30)$$

$$F = \frac{B_{1,1(2)} \cdot B_{1,2(1)} \cdot V_{sd}}{B_0}, \quad (31)$$

$$G = \frac{B_{1,2(2)} \cdot B_{1,1(1)} \cdot V_{sd}}{B_0}, \quad (32)$$

$$H = \frac{-B_{1,1(2)} \cdot B_{1,1(1)} \cdot V_{sd}}{B_0}, \quad (33)$$

$$B_0 = B_{1,1(2)} \cdot B_{1,2(1)}^2 + B_{1,1(1)} \cdot B_{1,2(2)}^2 - 2B_{1,1(1)} \cdot B_{1,1(2)} \cdot B_{2,2(1)}, \quad (34)$$

Решение системы (27) в замкнутом виде получено в наших работах [9,11]. В зависимости от знака коэффициента  $\gamma = k'_t(E - A)$  при определении параметров, описывающих напряженно-деформированное состояние составного сечения может быть рассмотрено три случая:

случай 1:  $\gamma = k'_t(E - A) > 0$ ;

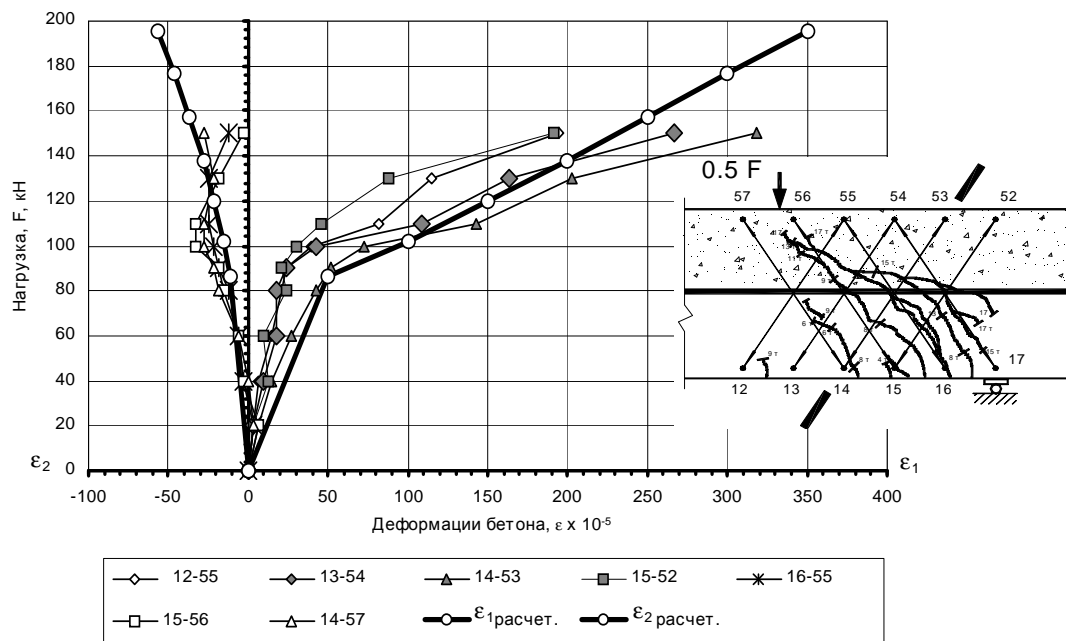


Рис. 4. Сравнение опытных и расчетных средних значений главных деформаций для балки SE7-2.

Таблица. Сравнение опытных и расчетных значений предельных нагрузок для сборно-монолитных балок

Источник	Обозначение группы	Предельная нагрузка $P_u = 2V_{sd,u}$ , кН			$P_{u,exp} / P_{u,calc}$	
		Опытная, $P_{u,exp}$	Расчетная $P_{u,calc}$		п.(3)/п.(4)	п.(3)/п.(5)
			по предл. методике	по ферм. аналогии [1,2]		
1	2	3	4	5	6	7
[12]	G	275.0	191.56	147.20	1.44	1.87
	A	275.0	197.80	154.70	1.39	1.78
	I	237.4	198.70	167.20	1.19	1.42
	E	224.3	203.70	218.70	1.10	1.03
[12]	G	160.0	182.8	137.25	0.88	1.17
		80.0	63.20	109.20	1.27	0.73
	A	300.0	251.10	169.4	1.94	1.77
		140.0	148.70	128.4	0.94	1.09
	I	200.0	183.20	155.94	1.09	1.28
		178.0	176.8	118.37	1.01	1.50
	E	300	158.3	214.28	1.90	1.40
		180	176.80	147.54	1.02	1.22
среднее					1.26	1.35

$$\tau_j(x) = c_1 \cdot \exp(\sqrt{\gamma} \cdot x) + c_2 \exp(-\sqrt{\gamma} \cdot x) + \frac{G-F}{A-E}, \quad (35)$$

$$\epsilon_{\theta(1)}^{(x)} = \frac{A \cdot C_1}{\sqrt{\gamma}} \exp(\sqrt{\gamma} \cdot x) + \frac{A \cdot C_2}{\sqrt{\gamma}} \exp(-\sqrt{\gamma} \cdot x) + \left[ A \frac{(G-F)}{(A-E)} \right] \cdot x + C_3, \quad (36)$$

$$\epsilon_{\theta(2)}^{(x)} = \frac{E \cdot C_1}{\sqrt{\gamma}} \exp(\sqrt{\gamma} \cdot x) + \frac{E \cdot C_2}{\sqrt{\gamma}} \exp(-\sqrt{\gamma} \cdot x) + \left[ E \frac{(G-F)}{(A-E)} \right] \cdot x + C_4, \quad (37)$$

$$\chi(x) = \frac{D \cdot C_1}{\sqrt{\gamma}} \exp(\sqrt{\gamma} \cdot x) + \frac{D \cdot C_2}{\sqrt{\gamma}} \exp(-\sqrt{\gamma} \cdot x) + \left[ D \frac{(G-F)}{(A-E)} \right] \cdot x + C_5, \quad (38)$$

случай 2:  $\gamma = k'_i(E - A) < 0$ ;

$$\tau_j(x) = c_1 \cdot \cos(\sqrt{\gamma} \cdot x) + c_2 \sin(-\sqrt{\gamma} \cdot x) + \frac{G-F}{A-E}, \quad (39)$$

$$\epsilon_{\theta(1)}^{(x)} = \frac{A \cdot C_1}{\sqrt{\gamma}} \sin(\sqrt{\gamma} \cdot x) + \frac{A \cdot C_2}{\sqrt{\gamma}} \cos(-\sqrt{\gamma} \cdot x) + \left[ A \frac{(G-F)}{(A-E)} + F \right] \cdot x + C_3, \quad (40)$$

$$\epsilon_{0(2)}^{(x)} = \frac{E \cdot C_1}{\sqrt{\gamma}} \sin(\sqrt{\gamma} \cdot x) + \frac{E \cdot C_2}{\sqrt{\gamma}} \cos(-\sqrt{\gamma} \cdot x) + \left[ E \frac{(G-F)}{(A-E)} + G \right] \cdot x + C_4, \quad (41)$$

$$\chi(x) = \frac{D \cdot C_1}{\sqrt{\gamma}} \sin(\sqrt{\gamma} \cdot x) - \frac{D \cdot C_2}{\sqrt{\gamma}} \cos(-\sqrt{\gamma} \cdot x) + \left[ D \frac{(G-F)}{(A-E)} + H \right] \cdot x + C_5, \quad (42)$$

случай 3:  $\gamma = k'_i (E - A) = 0$ ;

$$\tau_j(x) = k'_i (G - F) \frac{x^2}{2} + C_1 \cdot x + C_2, \quad (43)$$

$$\epsilon_{0(1)}^{(x)} = A \cdot k'_i \cdot (G - F) \frac{x^3}{6} + AC_1 \cdot \frac{x^2}{2} + (AC_2 + F) \cdot x + C_3, \quad (44)$$

$$\epsilon_{0(2)}^{(x)} = E \cdot k'_i \cdot (G - F) \frac{x^3}{6} + EC_1 \cdot \frac{x^2}{2} + (EC_2 + G) \cdot x + C_4, \quad (45)$$

$$\chi(x) = D \cdot k'_i \cdot (G - F) \frac{x^3}{6} + DC_1 \cdot \frac{x^2}{2} + (DC_2 + H) \cdot x + C_5, \quad (46)$$

Постоянные интегрирования  $C_1..C_5$  определяют из граничных условий для соответствующего распределения внутренних усилий и условий опирания рассчитываемой конструкции.

Следует отметить, что система дифференциальных уравнений (27) при компьютерной реализации может быть решена шаговым методом в сочетании с методом конечных разностей, как это было предложено в работе [8]. Разбивая длину стержня на « $m$ » частей длиной  $\Delta x$  ( $\Delta x \leq S$ ) значения неизвестных величин в точке  $j$  длины стержня могут быть представлены в виде:

$$\varphi_{l,j+1} = \varphi_{l,j} + \Delta x \left( \frac{d\varphi_{l,j}}{dx} \right), \quad (47)$$

где  $\varphi_{l,j} = (\chi, \epsilon_{0(1)}, \epsilon_{0(2)}, \tau_j)$ ,  $l = 1..2n + 2$ ;

После преобразований задача сводится к решению обыкновенных линейных уравнений [8].

Алгоритм решения задачи и сравнение результатов расчета с опытными данными

Укрупненный алгоритм решения задачи по расчету параметров напряженно-деформированного состояния сборно-монолитной конструкции при действии изгибающего момента и перерезывающей силы может быть представлен следующим образом:

1. Анализируемую балку разбивают по длине на « $m$ » участков размером  $S$  и по высоте сечения на « $n$ » участков размером  $\Delta h$ ;
2. Из решения системы уравнений (27) с использованием итерационных процедур согласно [10, 11] рассчитывают продольные деформации в сечении выделенных элементов с учетом неупругой работы стыкового соединения и нелинейной работы материалов сечения;
3. По установленным продольным деформациям с использованием диаграмм деформирования « $\sigma - \epsilon$ » согласно [1] определяют продольные напряжения  $\sigma_{xi}$ , действующие в пределах элементарных площадок по высоте сечения и вы-

числяют равнодействующие продольных усилий  $C_i$  по формуле (13);

4. Рассчитывают по ф. (17) величину касательных напряжений  $\nu_k$ , действующих в выделенной элементарной полосе « $k$ »;

5. Для выделенного « $k$ » - го элемента принимают начальное значение главных растягивающих деформаций  $\epsilon_I$  и используя диаграмму деформирования « $\sigma_I - \epsilon_I$ » в виде (7) определяют величину главных растягивающих напряжений;

6. По формулам (21) и (22) определяют угол наклона диагональных трещин  $\theta_k$  для рассматриваемого элемента;

7. По формулам (18) и (19) рассчитывают величину главных сжимающих напряжений и соответствующих деформаций  $\epsilon_2$ .

8. По формулам (20а) и (20б) рассчитывают деформации в поперечной арматуре  $\epsilon_v$  и продольные деформации  $\epsilon'_x$ .

9. Сравнивают значения  $\epsilon_x$ , полученные по ф. (20б) со значениями продольных деформаций  $\epsilon_x$ , полученными из нелинейного расчета по п. 2. Если  $\epsilon'_x \neq \epsilon_x$  возвращаются к п. 5. и изменяют значение  $\epsilon_I$ .

10. Расчет по п. 4..9 повторяют для всех выделенных элементарных полос в анализируемой зоне конструкции.

11. Проверяют общие условия равновесия.

В качестве критериев, определяющих наступление предельного состояния конструкции установлены: 1) деформации наиболее сжатой грани сечения или наиболее растянутого ряда продольной арматуры достигают предельных значений согласно [1]; 2) деформации поперечной арматуры  $\epsilon_v$ , определенные по ф. (20б) достигают предельных значений согласно [1]; 3) главные сжимающие напряжения достигают предельных значений. Предельное состояние считается достигнутым и тогда, когда для любой из выделенных элементарных полос не выполняются условия равновесия даже в том случае, если общие условия равновесия удовлетворены. Кроме того, в процессе расчета проверяется условие прочности для стыкового соединения согласно [1].

С использованием представленного алгоритма был выполнен расчет 12 сборно-монолитных балок, методика и результаты испытаний которых описаны в работе [12]. На рис. 4 показаны графики, описывающие изменение в процессе нагружения опытных и расчетных значений главных деформаций  $\epsilon_I$  и  $\epsilon_2$ , а в таблице сопоставлены значения опытных и расчетных предельных нагрузок.

Как видно из представленного сравнения предложенный метод позволяет с достаточной степенью точности оценить не только предельные усилия, воспринимаемые сборно-монолитной балкой, но и параметры напряженно-деформированного состояния при совместном действии изгибающего момента и перерезывающей силы.

#### СПИСОК ИСПОЛЬЗОВАННЫХ ИСТОЧНИКОВ

1. СНБ 5.03.01 «Бетонные и железобетонные конструкции» - Мн.: Стройтехнорм, 2003 г. - 139 с.
2. EN 1992-2-1, Eurocode 2 «Design of concrete structures. Part 1: General Rules and Rules for Building». - Committee of European Communities, Dec 1991. p.253.
3. MacGregor J.G., Gergely P. Suggested Revision to ACI Building Code Clauses Dealing with Shear in Beams. - ACU. v. 74, №10, Oct. 1977, p.p. 493-500.
4. Collins M.P., Mitchell D., Adebear P., Vecchio F.J. General Shear Design Method. - ACI Struct. Journal. v 93, №1, Jan-Febr. 1996 - p.p. 36-45.
5. Тур В.В., Кондратчик А. А. Расчет железобетонных конструкций при действии перерезывающих сил. - Брест: изд. БГТУ, 2000 - 400 с.

6. Проектирование и изготовление сборно-монолитных конструкций, под ред. проф. А. Б. Гольшева – Киев, Будівельник, 1987, - 220 с.
7. Рабинович Р.Н., Орлов Г.Г. Расчет двухслойных балок с упругопластическими составляющими стержнями / Строительная механика и расчет сооружений, №1, 1988 – с. 24-26.
8. Ржаницын А.Р., Захаров В.М. Расчет составных стержней из неупругого материала с неупругими связями сдвига. – Строительная механика и расчет сооружений, №1, 1974 – с. 16-18.
9. Тур В.В., Шалобыта Т.П. Применение деформационной модели для расчета изгибаемых сборно-монолитных конструкций с учетом нелинейной работы связей сдвига / Вестник БГТУ. Строительство и архитектура; №1 (7), 2001 – с. 88-90.
10. Тур В.В., Рак Н.А. Прочностные и деформационные характеристики бетона в расчетах железобетонных конструкций. – Брест: изд. БГТУ, 2003 – 230 с.
11. Шалобыта Т.П. Прочность и деформативность стыковых соединений сборно-монолитных конструкций с монолитной частью из напрягающего бетона.– Дисс. канд. техн. наук. спец. 05.23.01.— БГПА, Минск, 2000.— С. 175.
12. Кондратчик Н.И. Прочность приопорной зоны сборно-монолитных самонапряженных железобетонных конструкций. – Дисс. канд. техн. наук. Спец. 05.23.01.-БГТУ, Брест, 2001. – 180 с.

УДК 624.012.4

*Тур В.В., Кондратчик А.А.*

## ТРЕБОВАНИЯ ПО НОРМИРОВАНИЮ ТОЛЩИНЫ ЗАЩИТНОГО СЛОЯ БЕТОНА, ПРИНЯТЫЕ В СНБ 5.03.01–02 «БЕТОННЫЕ И ЖЕЛЕЗОБЕТОННЫЕ КОНСТРУКЦИИ»

Несмотря на то, что на протяжении целого ряда лет разрабатываются теоретические предложения по оценке и прогнозированию долговечности строительных объектов, инженерные методы расчета их ресурса отсутствуют практически во всех нормативных документах по проектированию железобетонных конструкций. В соответствии с п. 5.6.1 норм СНБ 5.03.01 [5] концепция долговечности при проектировании бетонных и железобетонных конструкций реализуется через выполнение расчетных условий метода предельных состояний, а также конструктивных требований, установленных в зависимости от условий, в которых эксплуатируется конструкция.

Следует отметить, что нормирование расчетных и конструктивных требований в зависимости от условий эксплуатации конструкций является одним из новых подходов, принятых в СНБ 5.03.01 [5].

Нормирование толщины защитного слоя бетона относится к разряду конструктивных требований, при выполнении которых обеспечивается как долговечность, так и эксплуатационная надежность железобетонной конструкции.

### 1. Краткая историческая справка

Возникновение сложного композитного материала – железобетона в 1850–1870 гг. открыло новое направление в строительстве. Однако, эйфория, вызванная применением нового «искусственного» камня быстро сменилась осознанием необходимости его глубокого исследования. Этому способствовали аварии, произошедшие во Франции (1990 г. – железобетонный мостик, построенный для Всемирной Парижской Выставки), Швейцарии (авария в г. Базель – производитель работ Генебик), Швеции (авария и повреждения мостов, гидротехнических сооружений) [1]. Первые обследования железобетонных конструкций, выполненные такими известными учеными как Риттер, Шюле, Перкун и др., показали, наличие трещин в эксплуатирующихся конструкциях и коррозионные повреждения арматуры [1].

Как отмечается в монографии [1], относящейся к 1927 году издания, среди причин, приведших конструкции к такому состоянию, установлено «...вредное влияние окружающей среды». Рекомендации, разработанные в начале XX столетия и изложенные в доступной для читателя форме, гласили: «...арматура нигде не должна выступать наружу; положение арматуры должно быть под слоем бетона толщиной 15..20 мм (при неблагоприятных условиях – 35 мм), что необ-

ходимо для обеспечения связи между железом и бетоном, а также из-за ограничения опасности ржавления и безопасности конструкции в пожарном отношении». Опубликованные в 1916 году результаты исследований немецких инженеров гласили: «...толщина защитного слоя бетона у мостовых конструкций должна быть 35 мм, а у фундаментов – 60..100 мм» [2].

Таким образом, уже на ранних этапах развития железобетона были сформулированы следующие базовые требования, исходя из которых должна назначаться толщина защитного слоя бетона:

- обеспечение совместной работы стальной арматуры с окружающим бетоном (сцепление, анкеровка, передача напряжений и т.д.);
- защита арматуры от коррозии вследствие неблагоприятного воздействия окружающей среды;
- технологичность изготовления конструкций, а главным образом обеспечение качественной укладки бетонной смеси;
- обеспечение требуемого предела огнестойкости.

Эти базовые требования сохраняют свою актуальность до настоящего времени. Необходимо отметить, что нормируемые значения толщины защитного слоя бетона претерпевали изменения в разные годы (см. таблицу 1), приводя в некоторых случаях у необоснованному снижению величины этого важного показателя.

Из анализа таблицы 1 следует, что наиболее детальные требования к назначению толщины защитного слоя бетона содержали нормы СНиП II–В.1–62. К этим требованиям приближаются величины толщины защитного слоя, установленные СНБ 5.03.01 [5]. При этом достаточно сложно объяснить упрощения и послабления требований, принятые в СНиП II–21–75 и перенесенные затем в СНиП 2.03.01–84\* [6].

Следует обратить внимание и еще на одно важное, на наш взгляд, обстоятельство. В нормах [6] не оговорено, какая величина является нормируемой: *минимально* допустимая толщина или *номинальная* толщина защитного слоя. Вместе с тем, ГОСТ 13015 [14] устанавливает предельно допустимые отклонения толщины защитного слоя от *номинального* размера (см. таблицу 2), указываемого в рабочих чертежах конструкций и изделий.

Как видно из таблицы 2, для конструкций, у которых номинальная толщина защитного слоя  $C_{ном}$  находится в преде-

*Кондратчик Александр Аркадьевич, к.т.н., профессор каф. строительных конструкций Брестского государственного технического университета.*

*Беларусь, БГТУ, 224017, г. Брест, ул. Московская, 267.*